

В заключение отметим, что разработанный нами волоконно-оптический датчик по пороговой чувствительности к постоянному магнитному полю сравним с чувствительностью, достигнутой в последних разработках волоконно-оптических датчиков на магнитострикционном эффекте в магнитомягких аморфных сплавах [1]. В то же время он выгодно отличается простотой конструкции чувствительного элемента и снижением требований к шумам интерферометра.

Авторы благодарят Н.Н. Колачевского и В.Т. Потапова за обсуждение работы и А.Н. Залогина за помощь в эксперименте.

### Список литературы

- [1] Dagenais D.M., Buscholtz F., Koo K.P., Dandridge A. // J. Light-wave Technol. 1989. V. 7. N 6. P. 881-885.
- [2] Andres M.V., Tudor M.J., Goulds K.W.H. // Electr. Lett. 1987. V. 23, N 15. P. 774-775.
- [3] Малов В.В. Пьезорезонансные датчики, М.: Энергоатомиздат, 1989. 33 с.
- [4] Брагинский В.Б., Манукян А.Б. Измерение малых сил в физических экспериментах. М.: Наука, 1974.
- [5] Jackson D.A. // J. Phys. E.: Sci. Instrum. 1985. V. 18. P. 981-1001.

Поступило в Редакцию  
23 апреля 1990 г.

Письма в ЖТФ, том 16, вып. 15

12 августа 1990 г.

04; 09

© 1990

### ДИНАМИКА И СТРУКТУРА СВЧ-РАЗРЯДА ВЫСОКОГО ДАВЛЕНИЯ

В.В. Баранов, В.Г. Бровкин

Последнее десятилетие СВЧ-разряд активно изучается в экспериментальных и теоретических работах [1-2]. Авторы отмечают скачкообразный характер движения фронта ионизации, неоднородность его структуры и указывают на важную роль ионизационно-перегревной неустойчивости и быстрого нагрева газа в распространении разряда.

Однако сравнительно недавно появились работы [3-4], в которых рассмотрена стримерная модель разряда, где высказано предположение о пространственно-непрерывном характере его движения. Модель дает скорости разряда, близкие к экспериментальным значе-

ниям, и в ней отсутствует проблема нагрева газа. В [5] на основе экспериментальных данных был установлен связный характер распространения инициированного СВЧ-разряда высокого давления и предложены пути для анализа структурно сложных разрядов.

В настоящей работе представлены результаты дальнейшего экспериментального изучения динамики и структуры разряда методом скоростной съемки. Исследования были выполнены в воздухе в диапазоне давлений  $P \approx 150-760$  Тор.

Параметр  $E/N$  ( $E$  – среднеквадратичная напряженность электрического поля волны,  $N$  – концентрация нейтральных молекул газа) изменялся в пределах  $(8 \cdot 10^{-16} - 10^{-16}) \text{ В} \cdot \text{см}^2$ . Амплитуда электрического поля СВЧ волны ( $f = 7.0$  ГГц) не превышала 4 кВ/см, а длительность импульса ( $\tau$ ) достигала 50 мкс.

Для инициации разряда применялась металлическая „метелка“. Разряд фотографировался в видимом диапазоне скоростным фотогенератором типа ЛВ-03 с электронно-оптическим преобразователем. Регистратор работал в режиме кадровой съемки изображения с разверткой на 16 кадрах; отдельные кадры следуют через 1 и 3 мкс. Длительность экспозиции отдельных кадров составляла 0.5 и 2 мкс соответственно.

Обрисуем общий характер развития разряда (см. рис. 1, а, б). Свечение первичного пробоя наблюдается на инициаторе, откуда стартует наклонный к вектору  $E$  и ориентированный навстречу падающему СВЧ излучению разрядный канал. Он располагается в плоскости векторов  $E$  и  $H$  и вытягивается до размера  $\approx 1.2$  см, далее изгибается (угол изменяется в пределах  $55-70^\circ$ ) и вновь прорастает до  $\approx 1.2$  см.

Вблизи точек изгиба основного канала появляются новые ветви примерно тех же размеров и ориентированные вдоль  $E$ . Остающиеся сзади каналы замыкаются на начальные области пробоя. Далее процесс повторяется. С увеличением  $\tau$  и амплитуды  $E$  поперечный размер разрядной области увеличивается до  $\sim 3.5-4.5$  см, а число каналов на единицу объема возрастает. Одновременно из областей перегибов отрастают каналы, ориентированные вдоль вектора  $H$ .

Таким образом, движение разряда в целом имеет непрерывный „пилообразный“ характер с углом наклона каналов друг к другу  $\sim 55-70^\circ$ . В узловых точках формируются дополнительные каналы (ориентированные вдоль векторов  $E$  и  $H$ ), длина которых близка к четверти длины излучаемой СВЧ-волны, т.е.  $\sim \lambda/4$ . Время роста (до размера  $\lambda/4$ ) отдельного канала составляет  $\sim 1$  мкс при  $E \geq 2$  кВ/см, которое увеличивается с уменьшением  $E$  и увеличением давления. Мы считаем, что разряды высокого давления (при  $E/N \approx 8 \cdot 10^{-16} - 10^{-16} \text{ В} \cdot \text{см}^2$ ) развиваются в соответствии с приведенным выше сценарием, на что указывает подобие их структур в СВЧ диапазоне.

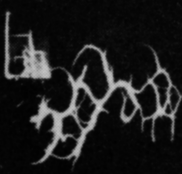
Рассмотрим вероятную, на наш взгляд, качественную модель развития инициированного СВЧ-разряда. Образование плазмы в окрестности инициатора равносильно возникновению сосредоточенной активной нагрузки для падающей волны, так как в интервале давлений

93556



α

81967



δ

Характерные фотографии динамики СВЧ разряда (а) и его интегральной фотографии (б) при атмосферном давлении в воздухе:  $E \approx 2.6$  кВ/см,  $\tau = 20$  мкс; на рис. 1, а счет кадров справа налево, снизу вверх, время экспозиции одного кадра 0.5 мкс.

от  $15\Omega$  Тор до атмосферного частота столкновений электронов с молекулами ( $\sqrt{\nu_{ct}}$ ) значительно превышает круговую частоту СВЧ-поля ( $\omega = 2\pi f$ ), а размер области поглощения меньше  $\lambda$ . Далее происходит линейный рост плазменного шнуря до размера  $\sim \lambda/4$ . По всей видимости, к окончанию периода роста наступает режим согласования нагрузки с падающей волной, т.е. происходит ее ограничение в свободном пространстве. На конце сформировавшегося несимметричного вибратора длиной  $l \approx \lambda/4$  достигается максимальная напряженность поля, и из этой зоны навстречу излучению стартует новый наклонный стример. Возможно, из-за недостаточно высокой проводимости "основных" каналов, а также для увеличения эффективности согласования с ними вблизи зон изгиба формируются дополнительные четвертьволновые шнуры. Известно [6], что максимальный импеданс поглащающей согласованной среды не превышает половины импеданса ( $Z$ ) свободного пространства. Такой подход позволяет оценить минимальное значение электронной концентрации ( $N_e$ ) в шнуре, считая его сопротивление равным  $Z/2 \approx 190$  Ом.

Из соотношения  $R = 4 \cdot l/6 \cdot \pi d^2$  (где  $l \approx 1$  см,  $d \approx 0.1$  см - экспериментальные значения длины и диаметра канала) найдем электронную проводимость канала ( $\sigma$ ) и, имея в виду, что  $\sqrt{\nu_{ct}} \gg \omega$ , из соотношения  $N_e \approx \delta \cdot \nu_{ct} / 2.82 \cdot 10^{-4}$  [7] определяем значение  $N_e \approx 10^{16} \text{ см}^{-3}$  в отдельном канале разряда атмосферного давления. Таким образом, базовые элементы с линейными размерами  $\sim \lambda/4$  возможно являются несимметричными вибраторами, которые с определенной периодичностью располагаются в разрядной области. Характерные размеры каналов, их пространственная ориентация и особенности энергопоглощения определяются длиной волны, структурой электромагнитного поля в зоне разряда и углом схождения СВЧ пучка. Мы полагаем, что в целом разрядные каналы формируют управляемую внешним полем периодическую пространственно-непрерывную структуру, которая, по-видимому, выполняет функцию адаптивной антенны и обеспечивает оптимальный прием СВЧ энергии.

В заключение авторы выражают признательность Ю.Ф. Колесниченко за полезные замечания, высказанные в ходе обсуждения работы, а также Г.Н. Архипову и Н.С. Рубцову за помощь, оказанную при проведении экспериментов.

#### Список литературы

- [1] Батанов Г.М., Грицинин С.И., Коссый И.А. и др. Труды ФИАН. М.: Наука, 1985. Т. 160. С. 174-203.
- [2] Голубев С.В., Грицинин С.И., Зорин В.Г. и др. В кн.: Высокочастотный разряд в волновых полях. Горький: ИПФ АН СССР, 1988. С. 136-197.
- [3] Колесниченко Ю.Ф. В кн.: Тез. докл. П Всес. сов. "Высокочастотный разряд в волновых полях". Куйбышев: КГПИ, 1989. С. 26-27.

- [4] Колесниченко Ю.Ф. В кн.: Тез. докл. Всес. семинара по высокочастотному пробою газов. Тарту: ТУ, 1989. с. 53.
- [5] Бровкин В.Г., Колесниченко Ю.Ф. // Письма в ЖТФ. 1990. Т. 16. В. 3. С. 55-59.
- [6] Крауфорд Ф. Волны. М.: Наука, 1974. 527 с.
- [7] Райзер Ю.П. Физика газового разряда. М.: Наука, 1987. 591 с.

Поступило в Редакцию  
17 апреля 1990 г.

Письма в ЖТФ, том 16, вып. 15

12 августа 1990 г.

05.2

© 1990

ИСПОЛЬЗОВАНИЕ МНОГОСЛОЙНЫХ СТРУКТУР  
В КАЧЕСТВЕ МИШЕНЕЙ ДЛЯ ГЕНЕРАЦИИ  
КОЛЛИМИРОВАННОГО ПУЧКА РЕНТГЕНОВСКИХ КВАНТОВ

Ю.И. Дудчик, Ф.Ф. Комаров,  
М.А. Кумахов, Д.Г. Лобоцкий,  
В.С. Соловьев, В.С. Тишков

Многослойные структуры, состоящие из чередующихся слоев двух веществ с различными диэлектрическими проницаемостями, находят применение в рентгеновской технике. Известно [1], что они эффективно отражают излучение мягкого рентгеновского диапазона длин волн. В [2] предложено использовать многослойные структуры для транспортировки (фокусировки) жесткого рентгеновского и гамма-излучения. Предполагается, что излучение в этом случае будет распространяться вдоль структуры в волноводном режиме по „каналам“ из материала с большим значением показателя преломления. В [3] рассмотрена возможность использования структур как мишней для генерации переходного рентгеновского излучения. Естественно, что параметры структуры (толщина слоев, их количество, качество границ раздела и т.д.), необходимые для получения положительного эффекта, будут различны в каждом из указанных случаев.

В данном сообщении показана еще одна возможность использования многослойных структур в рентгеновской технике для генерации узколимитированных пучков тормозного и характеристического рентгеновского излучения. Ранее мы продемонстрировали работоспособность обсуждаемого источника излучения в [4]. При этом роль тормозной мишени играл рентгеновод, образованный плотно сжатыми полироваными кремниевыми пластинами. Однако в [4] не